

在量子色动力学中转换电磁形状因子 $F_{A_1\pi}(q^2)$ 的大动量行为

黄朝商

(中国科学院理论物理研究所)

摘 要

本文运用算符乘积展开和重整化群的方法,研究和给出了在量子色动力学中的 1^{++} 介子 B-S 波函数和 $A_1-\pi$ 转换电磁形状因子的大动量行为,并讨论了可能的实验检验。

一、引 言

新近我们^[1]及别的作者^[2,3]在量子色动力学范围里讨论了大动量转移下的一些遍举过程. 理论结果与实验的比较^[4]大致上是令人满意的. 这就鼓舞我们去探讨更多的这类过程,以进一步检验量子色动力学以及 B-S 波函数的光锥行为. 在本文中我们运用 conformal 协变的算符乘积展开和重整化群的方法,研究和给出了味非单态纵极化 1^{++} 介子的 B-S 波函数的光锥行为. 利用所得到的 A_1 介子(以及 π 介子)的大动量波函数,研究转换电磁形状因子 $F_{A_1\pi}(q^2)$ 的大动量行为. 结果是,除掉与介子结构直接有关的系数因子, $F_{A_1\pi}(q^2)$ 与 $F_\pi(q^2)$ 的大 q^2 行为是相同的. 本文第二节给出 1^{++} 介子束缚态波函数的普遍形式并导出它的光锥行为. 第三节计算转换电磁形状因子 $F_{A_1\pi}(q^2)$ 的大动量行为. 第四节给出 $e^+e^- \rightarrow \pi^\pm A_1^\mp$ 的截面并讨论可能的实验检验。

二、纵极化 1^{++} 介子 B-S 波函数的光锥行为

1^{++} 介子 B-S 波函数的定义是

$$\begin{aligned} \chi_{P,\xi}^\sigma(x_1, x_2) &= \langle 0 | T(\psi(x_1)\bar{\psi}(x_2)) | P, \sigma, \xi \rangle \\ &= e^{iP \cdot X} \left\langle 0 \left| T \left(\psi \left(\frac{x}{2} \right) \bar{\psi} \left(-\frac{x}{2} \right) \right) \right| P, \sigma, \xi \right\rangle = e^{iP \cdot X} \chi_{P,\xi}^\sigma(x) \end{aligned} \quad (1)$$

式中 σ 是 1^{++} 介子的极化矢量 e^σ 的极化指标, $\sigma = 0, +, -$ (或者 $1, 2, 3$). 其他符号的含义与文献[1]的相同. (后面遇到同样情形,不再另作说明.)为了简单,在(1)式中我们已略去了色指标. 在动量表象

$$\chi_{P,\xi}^\sigma(p) = \int d^4x e^{-iP \cdot x} \left\langle 0 \left| T \left(\psi \left(\frac{x}{2} \right) \bar{\psi} \left(-\frac{x}{2} \right) \right) \right| P, \sigma, \xi \right\rangle, \quad (2)$$

其中 $P = p_1 - p_2$, $p = (p_1 + p_2)/2$.

容易证明, 满足空间反射和电荷共轭不变性的 1^{++} 介子 B-S 波函数的普遍形式是

$$\begin{aligned} \chi_{P,\mu}^\sigma(p) &= \chi_{P,\mu}(p) c_\mu^\sigma, \\ \chi_{P,\mu}^\sigma(p) &= \gamma_\mu \gamma_5 g_1 + \hat{P} \gamma_\mu \gamma_5 P \cdot p g_2 + p_\mu \gamma_5 P \cdot p g_3 + p_\mu \hat{P} \gamma_5 g_4 \\ &\quad + p_\mu p_\nu P_\lambda \sigma_{\nu\lambda} \gamma_5 P \cdot p g_5 + \epsilon_{\mu\nu\sigma\rho} p_\nu P_\sigma \gamma_\rho g_6 + \sigma_{\mu\nu} p_\nu \gamma_5 g_7 \\ &\quad + p_\mu \hat{P} \gamma_5 P \cdot p g_8, \end{aligned} \quad (3)$$

其中 $g_i = g_i((P \cdot p)^2, p^2)$, $i = 1, \dots, 8$. 为了简单, 在(3)式中未写出味指标.

我们运用算符乘积展开来求纵极化 1^{++} 介子 B-S 波函数 $\chi_{P\epsilon}^{(0)}(p)$ 的光锥行为. 在 $x^2 \approx 0$,

$$\begin{aligned} T\left(\psi\left(\frac{x}{2}\right)\bar{\psi}\left(-\frac{x}{2}\right)\right) &= \sum_i \sum_{n=0}^{\infty} x^{s^{(0)}+1} G_{n,i}^1(x^2) \gamma_\mu \gamma_5 x_{\mu_1} \cdots x_{\mu_n} \\ &\quad \times \sum_{m \geq n} C_{nm}^1 x_{\mu_{n+1}} \cdots x_{\mu_m} O_{\mu_1 \cdots \mu_m}^{n,i} \\ &\quad + \sum_i \sum_{n=0}^{\infty} x^{s^{(0)}-1} G_{n,i}^2(x^2) \gamma_\nu \gamma_5 \sum_{m \geq n} C_{nm}^2 x_\nu x_{\mu_1} \cdots x_{\mu_m} O_{\mu_1 \cdots \mu_m}^{n,i} \\ &\quad + \sum_i \sum_{n=1}^{\infty} x^{s^{(0)}+1} G_{n,i}^3(x^2) \gamma_\mu \gamma_5 \sum_{m \geq n} C_{nm}^3 x_\mu x_{\mu_1} \cdots x_{\mu_{n-1}} x_{\mu_{n+1}} \cdots x_{\mu_m} O_{\mu_1 \cdots \mu_m}^{n,i} \\ &\quad + \sum_i \sum_{n=1}^{\infty} x^{s^{(0)}+2} G_{n,i}^4(x^2) \gamma_\mu \gamma_\nu \gamma_5 \sum_{m \geq n} C_{nm}^4 x_\mu x_\nu x_{\mu_1} \cdots x_{\mu_{n-1}} x_{\mu_{n+1}} \cdots x_{\mu_m} O_{\mu_1 \cdots \mu_m}^{n,i} \\ &\quad + \sum_i \sum_{n=1}^{\infty} x^{s^{(0)}} G_{n,i}^5(x^2) \sigma_{\nu\mu} \gamma_5 \sum_{m \geq n} C_{nm}^5 x_\nu x_\mu x_{\mu_1} \cdots x_{\mu_{n-1}} x_{\mu_{n+1}} \cdots x_{\mu_m} O_{\mu_1 \cdots \mu_m}^{n,i} \\ &\quad + \sum_i \sum_{n=0}^{\infty} x^{s^{(0)}} G_{n,i}^6(x^2) \sigma_{\mu\nu} \gamma_5 \sum_{m \geq n} C_{nm}^6 x_\nu x_{\mu_1} \cdots x_{\mu_m} O_{\mu_1 \cdots \mu_m}^{n,i} \\ &\quad + \sum_i \sum_{n=0}^{\infty} x^{s^{(0)}} G_{n,i}^7(x^2) \gamma_5 \sum_{m \geq n} C_{nm}^7 x_\mu x_{\mu_1} \cdots x_{\mu_m} O_{\mu_1 \cdots \mu_m}^{n,i} \\ &\quad + \sum_i \sum_{n=1}^{\infty} x^{s^{(0)}+1} G_{n,i}^8(x^2) \epsilon_{\mu\nu\rho\sigma} \gamma_\rho \sum_{m \geq n} C_{nm}^8 x_\nu x_\sigma x_{\mu_1} \cdots x_{\mu_{n-1}} x_{\mu_{n+1}} \cdots x_{\mu_m} O_{\mu_1 \cdots \mu_m}^{n,i} \\ &\quad + \cdots, \end{aligned} \quad (4)$$

其中 $S(O) = -1$, $i = a, \psi$.

$$O_{\mu_1 \cdots \mu_m}^{n,i} = \partial_{\mu_{n+1}} \cdots \partial_{\mu_m} O_{\mu_1 \cdots \mu_n}^{n,i}, \quad (5)$$

$$O_{\mu_1 \cdots \mu_n}^{n,a} = \sum_{l=0}^n b_{nl} [\partial_{\mu_{l+1}} \cdots \partial_{\mu_n} \bar{\psi} \gamma_\mu \gamma_5 \bar{D}_{\mu_1} \cdots \bar{D}_{\mu_l} \lambda^a \psi + \text{置换}], \quad (6)$$

$$O_{\mu_1 \cdots \mu_n}^{n,\psi} = \sum_{l=0}^n b_{nl} [\partial_{\mu_{l+1}} \cdots \partial_{\mu_n} \bar{\psi} \gamma_\mu \gamma_5 \bar{D}_{\mu_1} \cdots \bar{D}_{\mu_l} \psi + \text{置换}],$$

在以上式子中 C_{nm}^k ($k = 1, \dots, 8$), b_{nl} 是无量纲的常数. 由于波函数 $\langle 0 | T(\psi \bar{\psi}) | P \rangle$ 是算符乘积的非对角元, 故一般地在(4)式中定域算符的外部导数项(见(5)、(6)式)也有贡献.

在重整化后,自旋为 n 的算符将与自旋小于 n 的算符混合,导致上三角形的反常量纲矩阵(即该反常量纲矩阵只有对角元素和右上方非对角元素不为零)。但是我们可以将它们适当地线性组合(相应于将反常量纲矩阵对角化)而得到具有确定反常量纲的算符。在这里我们假定(6)式已经是这样组合好的算符,它的反常量纲 $\gamma_{o^{n,a}}$ 等于人们熟悉的深度非弹散射中出现的第 n 个非单态算符的反常量纲。

将(4)代入(2),对于味非单态,我们得

当 $p^2, p \cdot P \rightarrow \infty, p \cdot P/p^2$ 固定

$$\begin{aligned}
 \chi_{PE}^{(0)}(p) = & \frac{e^{(0)}\gamma_5 m_\xi^2}{p^4} \sum_{n=0}^{\infty} \left(\frac{p \cdot P}{p^2}\right)^n g_{n,a}^1 \left(\frac{p^2}{\mu^2}\right) H_{\xi,1}^{n,a} \left(\frac{p \cdot P}{p^2}, \frac{m_\xi^2}{\mu^2}\right) \\
 & + \frac{\hat{p}\gamma_5 p \cdot e^{(0)} m_\xi^2}{p^6} \sum_{n=0}^{\infty} \left(\frac{p \cdot P}{p^2}\right)^n g_{n,a}^2 \left(\frac{p^2}{\mu^2}\right) H_{\xi,2}^{n,a} \left(\frac{p \cdot P}{p^2}, \frac{m_\xi^2}{\mu^2}\right) \\
 & + \frac{\hat{p}\gamma_5 p \cdot e^{(0)} p \cdot P m_\xi^2}{p^8} \sum_{n=2}^{\infty} \left(\frac{p \cdot P}{p^2}\right)^{n-2} g_{n,a}^3 \left(\frac{p^2}{\mu^2}\right) H_{\xi,3}^{n,a} \left(\frac{p \cdot P}{p^2}, \frac{m_\xi^2}{\mu^2}\right) \\
 & + \frac{e^{(0)} \hat{p}\gamma_5 p \cdot P m_\xi^2}{(p^2)^{7/2}} \sum_{n=2}^{\infty} \left(\frac{p \cdot P}{p^2}\right)^{n-2} g_{n,a}^4 \left(\frac{p^2}{\mu^2}\right) H_{\xi,4}^{n,a} \left(\frac{p \cdot P}{p^2}, \frac{m_\xi^2}{\mu^2}\right) \\
 & + \frac{\sigma_{\mu\nu} \gamma_5 \hat{p}_\mu \hat{p}_\nu p \cdot e^{(0)} p \cdot P m_\xi^2}{(p^2)^{9/2}} \sum_{n=2}^{\infty} \left(\frac{p \cdot P}{p^2}\right)^{n-2} g_{n,a}^5 \left(\frac{p^2}{\mu^2}\right) H_{\xi,5}^{n,a} \left(\frac{p \cdot P}{p^2}, \frac{m_\xi^2}{\mu^2}\right) \\
 & + \frac{\sigma_{\mu\nu} \gamma_5 e_\mu^{(0)} \hat{p}_\nu m_\xi^2}{(p^2)^{5/2}} \sum_{n=0}^{\infty} \left(\frac{p \cdot P}{p^2}\right)^n g_{n,a}^6 \left(\frac{p^2}{\mu^2}\right) H_{\xi,6}^{n,a} \left(\frac{p \cdot P}{p^2}, \frac{m_\xi^2}{\mu^2}\right) \\
 & + \frac{\gamma_5 e^{(0)} \cdot p p \cdot P m_\xi^2}{(p^2)^{7/2}} \sum_{n=1}^{\infty} \left(\frac{p \cdot P}{p^2}\right)^{n-1} g_{n,a}^7 \left(\frac{p^2}{\mu^2}\right) H_{\xi,7}^{n,a} \left(\frac{p \cdot P}{p^2}, \frac{m_\xi^2}{\mu^2}\right) \\
 & + \frac{\sigma_{\mu\nu\rho\sigma} e_\mu^{(0)} \hat{p}_\nu \hat{p}_\rho \gamma_\sigma m_\xi^2}{p^6} \sum_{n=1}^{\infty} \left(\frac{p \cdot P}{p^2}\right)^{n-1} g_{n,a}^8 \left(\frac{p^2}{\mu^2}\right) H_{\xi,8}^{n,a} \left(\frac{p \cdot P}{p^2}, \frac{m_\xi^2}{\mu^2}\right) \\
 & + \dots, \tag{7}
 \end{aligned}$$

其中

$$H_{\xi,j}^{n,a} \left(\frac{p \cdot P}{p^2}, \frac{m_\xi^2}{\mu^2}\right) = \sum_{k=0}^{\infty} \left(\frac{p \cdot P}{p^2}\right)^k \sum_{l=1}^n C_{nn+k}^l b_{nl} h_{\xi}^{l,a} \left(\frac{m_\xi^2}{\mu^2}\right), \quad j = 1, \dots, 8 \tag{8}$$

$h_{\xi}^{n,a}$ 由下式定义

$$\langle O | \bar{\psi} \gamma_\mu \gamma_5 \bar{D}_{\mu_1} \dots \bar{D}_{\mu_n} \lambda^a \psi | P, O, \xi \rangle = m_\xi^2 h_{\xi}^{n,a} \left(\frac{m_\xi^2}{\mu^2}\right) e_\mu^{(0)} p_{\mu_1} \dots p_{\mu_n}. \tag{9}$$

(7)式已满足空间反射不变性。为了满足电荷共轭不变性,(7)式中对 n 求和应保持每项都是 $(p \cdot P)^2$ 的函数。该式中无量纲的 wilson 系数 $g_{n,a}^l \left(\frac{p^2}{\mu^2}\right)$ ($l = 1, \dots, 8$) 的大动量行为可由重整化群方程得出

$$g_{n,a}^l \left(\frac{\lambda^2 p^2}{\mu^2}, g_{R_1}, \frac{m_R}{\mu}\right) \xrightarrow{\lambda \rightarrow \infty} (\ln \lambda)^{-\frac{\gamma_n + 2\gamma^F}{b_0}} g_{n,a}^l \left(\frac{p^2}{\mu^2}, g(\lambda), 0\right). \tag{10}$$

在上述展开式中系数 C_{nm}^k 是没有确定的。为了确定系数之间的关系,我们将利用 conformal 不变性(因为在只考虑 g^2 阶辐射修正重整化时, conformal 不变性的破坏只表现

在奇异函数 $G_{n,i}(x^2)$ 中)。为了简单, 下面我们只写出下列一项旋量结构 (可证, 在对形状因子的大动量行为的贡献中, 只有该项是主要的, 其他项的贡献均小 $O\left(\frac{m}{Q}\right)$ 量级。)

$$T(\phi(x)\bar{\phi}(0)) = \sum_{x^2 \approx 0, n=0}^{\infty} x^{s(0)+1} G_n(x^2) \gamma_\mu \gamma_5 x_{\mu_1} \cdots x_{\mu_n} \times \sum_{m \geq n} C_{nm} x_{\mu_{n+1}} \cdots x_{\mu_m} O_{\mu_1 \cdots \mu_m}^{n, a} + \cdots \quad (11)$$

假定在光锥附近算符乘积展开具有 conformal 协变性, 则 (11) 式中系数之间满足下列关系^[5]

$$C_{nm} = C_{n+1, n+k} = C_{nn} \frac{\Gamma(n+2+k)\Gamma(2n+4)}{k!\Gamma(n+2)\Gamma(2n+4+k)} \quad (12)$$

将(12)式代入(11)式即得

$$T(\phi(x)\bar{\phi}(0)) = \sum_{n=0}^{\infty} x^{s(0)+1} G_n(x^2) \gamma_\mu \gamma_5 x_{\mu_1} \cdots x_{\mu_n} \times C_{nn} F_1(2n+4, n+2; x \cdot \partial) O_{\mu_1 \cdots \mu_n}^{n, a} + \cdots \quad (13)$$

利用汇合超比函数, $F_1(a, b; x)$ 的性质, 上式可化成

$$T(\phi(x)\bar{\phi}(0)) = \sum_{n=0}^{\infty} x^{s(0)+1} G_n(x^2) \gamma_\mu \gamma_5 x_{\mu_1} \cdots x_{\mu_n} \times C'_{nn} \int_0^1 [t(1-t)]^{n+1} e^{tx \cdot \partial} O_{\mu_1 \cdots \mu_n}^{n, a} dt + \cdots \quad (14)$$

从(14)式我们得到满足 conformal 协变性的纵极化 1^{++} 介子波函数的算符乘积展开式

$$\chi_{P_3^+}^{(0)}(x) = e^{s(0)} \gamma_5 \sum_{n=0}^{\infty} G_n(x^2) h_n(x \cdot P) \int_0^1 [t(1-t)]^{n+1} e^{-i(\frac{1}{2}-t)x \cdot P} dt + \cdots \quad (15)$$

为了后面计算形状因子大动量行为的需要, 类似于 Brodsky 和 LePage^[2], 我们定义层子反层子对(分别带介子总动量的分数 y_1, y_2 , 间隔接近光锥)在介子中的分布振幅 $\phi(y, Q)$:

$$e^{s(0)} \gamma_5 \phi(y, Q) = \left(\ln \frac{Q^2}{\mu^2}\right)^{-\frac{2\gamma_F}{b_0}} \frac{P^+}{2} \int d^2_{\perp} \chi_p^{(0)}(p^+, \mathbf{p}_{\perp}), \quad (16)$$

其中

$$\chi_p^{(0)}(p^+, \mathbf{p}_{\perp}) = \int e^{-i(p_{\perp} x_{\perp} - \frac{1}{2} p^+ x^-)} \chi_p^{(0)}(x) \Big|_{x^2 \approx 0} d^2_{x_{\perp}} dx^-$$

$y = 2p^+/P^+$, $P^{\pm} = P_0 \pm P_3$ 是光锥变量。

利用(15)式我们求得

$$\phi_{A_1}(y, Q) = (1-y)^2 \sum_{n=0}^{\infty} a_n^{A_1} C_n^{3/2}(y) \left(\ln \frac{Q^2}{\mu^2}\right)^{-\gamma^{n/b_0}}, \quad (17)$$

其中 $C_n^{3/2}(y)$ 是 Gegenbauer 多项式。同位旋对称性导致(17)式中只有 $n =$ 偶数的项不为零。

对于 0^- 介子, 类似于(17)式的展开式是首先被 Brodsky 和 LePage 给出的^[6]。

利用 Gegenbauer 多项式的正交性, (17) 式中的系数 $a_n^{\Lambda_1}$ 可从 $\phi_{\Lambda_1}(y, Q_0)$ 求出

$$a_n^{\Lambda_1} = \frac{2n+3}{2(n+1)(n+2)} \left(\ln \frac{Q_0^2}{\mu^2} \right)^{r^*/b_0} \int_{-1}^1 C_n^{3/2}(y) \phi_{\Lambda_1}(y, Q_0) dy. \quad (18)$$

特别, a_0 比例于波函数在坐标空间的零点值,

$$a_0 = \frac{3}{8\sqrt{n_c}} f_{\Lambda_1}, \quad (19)$$

其中 f_{Λ_1} 是在矩阵元 $\langle O | \bar{\psi} \gamma_\mu \gamma_5 \tau^- \psi | A_1^+; P, e^{(0)} \rangle$ 中的归一因子

$$\langle O | \bar{\psi} \gamma_\mu \gamma_5 \tau^- \psi | A_1^+; P, e^{(0)} \rangle = e_\mu^{(0)} f_{\Lambda_1}. \quad (20)$$

(式中 $\tau^- = \frac{1}{2}(\tau_1 - i\tau_2)$, τ_k 是同位旋矩阵。) 它可从重轻子 τ 的衰变 $\tau^- \rightarrow A_1^- \nu_\tau$ 中定出。

三、转换电磁形状因子 $F_{A_1, \pi}(q^2)$ 的大动量行为

现在我们来求转换电磁形状因子 $F_{A_1, \pi}(q^2)$ 。为了便于实验检验, 我们考虑 q^2 类时的情形, 推广到 q^2 类空是直截了当的。

由洛仑兹协变性, 描写过程 $\gamma^* \rightarrow A_1 + \pi$ 的电磁流矩阵元 V_μ 可表为

$$\begin{aligned} V_\mu(q; P, P', e^{(0)}) &= \langle A_1(P', e^{(0)}), \pi(P) | j_\mu(O) | O \rangle \\ &= \mathcal{D}_\mu q \cdot e^{(0)} \bar{F}_1(q^2) + q_\mu q \cdot e^{(0)} \bar{F}_2(q^2) + e_\mu^{(0)} F_3(q^2), \end{aligned}$$

其中 $q = P + P'$, $\mathcal{D} = P - P'$ 。在 P' 很大 ($m_{\Lambda_1}/|P'| \ll 1$) 参考系,

$$e_\mu^{(0)}(P') \simeq \frac{P'_\mu}{m_{\Lambda_1}}. \quad (21)$$

故

$$V_\mu \simeq \mathcal{D}_\mu F_1(q^2) + q_\mu F_2(q^2).$$

由流守恒得

$$F_2(q^2) = \frac{(m_{\Lambda_1}^2 - m_\pi^2)}{-q^2} F_1(q^2).$$

所以当 $|q^2|$ 很大 ($m_{\Lambda_1}^2/|q^2| \ll 1$) 只考虑领头项时我们有

$$V_\mu(q; P, P') \simeq \mathcal{D}_\mu F_1(q^2). \quad (22)$$

按照层子模型的计算方法^[7], 我们可以将 V_μ 与介子波函数相联系 (见图 1), 即有

$$\begin{aligned} V_\mu(q; P, P') &= \int \frac{d^4 p d^4 p'}{(2\pi)^8} S_p \left\{ \bar{\chi}_p^{(0)}(p') \mathcal{S}_\mu \left(q; p' + \frac{P'}{2}, p' - \frac{P'}{2}, p + \frac{P}{2}, p - \frac{P}{2} \right) \right. \\ &\quad \left. \times \bar{\chi}_p(p) \right\}, \quad (23) \end{aligned}$$

其中 $\bar{\chi}_p^{(0)}(p)$ 和 $\chi_p(p)$ 分别是 A_1 和 π 的 B-S 波函数, \mathcal{S}_μ 是截腿的双粒子不可约 (在束缚态道) 五点格林函数。

我们指出, 利用 (21) 式可将 (7) 式化成与非单态 0^- 介子波函数的算符乘积展开式 (见文献 [1] 的 (5) 式) 完全类似的形式。因此, 根据文献 [1] 的分析, 马上可以作出结论: 当 q^2 大时 $F_{A_1, \pi}(q^2)$ 随 q^2 的变化趋势与 $F_\pi(q^2)$ 相同。

为了算出 q^2 大时形状因子表达式 (参看文献 [1] 的 (19) 式) 中的常系数因子 (特别, 领

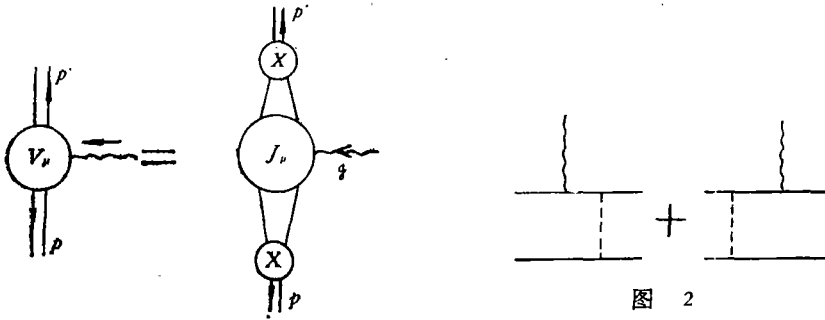


图 1

图 2

头项的系数), 简便的办法是选择一适当的参考系来计算 V_μ . 跟着 Brodsky 和 Lepage^[2], 选取 $q_\perp^2 = O(Q^2)$ ($Q^2 \equiv -q^2 > 0$) 的无穷大动量系

$$P = \left(P^+, \frac{m_\xi^2}{P^+}, \vec{0}_\perp \right), \quad q = \left(2P^+, \frac{-2P \cdot q - 2m_\xi^2}{P^+}, \mathbf{q}_\perp \right).$$

由于层子在强子中的横动量是小的, 当 Q^2 很大时, $p_\perp^2/Q^2 \ll 1$. 当大横动量虚光子“打击”层子(或反层子)时, 被打层子获得大的横动量而重大地改变运动方向. 它必须把大横动量传递(通过胶子)给旁观者迫使后者也改变到同一(粗略地)方向, 才能重新组成“完整”的强子. 因此我们可以把这个交换大横动量的“硬”的亚过程分出来. 从我们以前的工作^[1]以及 Brodsky, Mueller 等人同样的结论^[2,3], 我们知道, 形状因子的大动量行为是被波函数的光锥行为所控制的. 所以, 当在亚过程中忽略 p_\perp^2/Q^2 , m_ξ^2/Q^2 , p_\perp^2/Q^2 时可(23)式表成

$$V_\mu = \int_{-1}^1 dy dy' \phi_{A_1}(y', \vec{Q}_{y'}) S_p \{ \gamma_s \hat{e}^{(0)} T_\mu^H(y, y', P, P') \hat{P} \gamma_s \} \phi_\pi(y, \vec{Q}_y), \quad (24)$$

其中 $\vec{Q}_y = |y|Q$. 在写出上式时已考虑了内部传播子和顶点的辐射修正. (24) 式中 $\phi(y, Q)$ 由(16)式定义, T_μ^H 是硬的亚过程 $\gamma^* + q\bar{q} \rightarrow q\bar{q}$ 的全部(相连的)玻恩图的振幅(截掉外线因子)之和. 为了简单, 式中没有明显写出味和色因子. 刚才已经指出, 该亚过程中所传递的动量是大的 ($\sim Q$), 故 $\alpha_s(Q)$ 小, 领头项只需考虑图 2 (及相应的反层子与虚光子作用图)的贡献

$$S_p \{ \gamma_s \hat{e}^{(0)} T_\mu^H \hat{P} \gamma_s \} = \mathcal{D}_\mu \frac{64\pi C_2(F) \alpha_s(Q^2)}{m_{A_1} Q^2} \frac{1}{(1-y^2)(1-y'^2)}. \quad (25)$$

将(17)、(25)以及 π 介子的层子反层子对分布振幅^[2]

$$\phi_\pi(y, Q) = (1-y^2) \sum_{n=0}^{\infty} a_n^\pi C_{3/2}^{n/2}(y) \left(\ln \frac{Q^2}{\mu^2} \right)^{-\tau^\pi/b_0} \quad (26)$$

代入(24)式即得

$$F_{A_1\pi}(Q^2) \equiv F_1(Q^2) = \frac{256\pi C_2(F) \alpha_s(Q^2)}{Q^2 m_{A_1}} \sum_{n, n'} a_n^{\Lambda_1} a_{n'}^\pi \times \left(\ln \frac{Q^2}{\mu^2} \right)^{-\frac{\tau^n + \tau_{n'}}{b_0}} \left[1 + O\left(\alpha_s(Q^2), \frac{m}{Q} \right) \right]. \quad (27)$$

(由于(25)式分母中 $(1-y^2)(1-y'^2)$ 被 ϕ_π , ϕ_{A_1} 中的同样因子消去, 故在(24)式中在端

点没有奇异,所以在该式中可用 Q 代替 $\tilde{Q}_y, \tilde{Q}_{y'}$.) 当 $Q^2 \rightarrow \infty$, 上式的领头项为

$$F_{\Lambda_1\pi}(Q^2) \rightarrow \frac{16\pi\alpha_s(Q^2)}{Q^2} \frac{f_\pi f_{\Lambda_1}}{m_{\Lambda_1}} \quad (28)$$

顺便指出, 由于胶子是矢量粒子, 故对于横极化矢量介子 A_1 , 其转换电磁形状因子 $F_{\Lambda_1\pi}^T(Q^2)$ 将比上面所得出的纵极化时的 (27) 式小 m_q/Q 倍, 因而在 Q^2 大时是不重要的 (详细分析请参看文献[4]).

四、 $e^+e^- \rightarrow \pi^\pm A_1^\pm$ 的微分截面和截面

为了便于和实验直接比较, 下面我们给出 $e^+e^- \rightarrow \pi^\pm A_1^\mp$ (见图3) 的微分截面和截面.

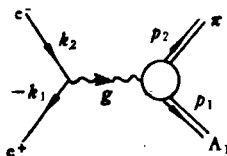


图 3

相应于图3的振幅为

$$M = (-i)(2\pi)^4 \frac{e^2}{q^2} \bar{v}(k_1) \gamma_\mu u(k_2) V_\mu \quad (29)$$

直接的计算即得微分截面

$$\frac{d\sigma}{dt} = \frac{2\pi\alpha^2}{S^4} (-t)(t+s) |F_{\Lambda_1\pi}(S)|^2 + O\left(\frac{m_{\Lambda_1}^2}{S}\right) \quad (30)$$

和总截面

$$\sigma = \frac{\pi\alpha^2}{3S} |F_{\Lambda_1\pi}(S)|^2 + O\left(\frac{m_{\Lambda_1}^2}{S}\right) \quad (31)$$

其中 $F_{\Lambda_1\pi}(S)$ 由(27)式所示. 渐近地

$$\sigma \rightarrow \frac{16^2\pi^3}{3} \frac{f_\pi^2 f_{\Lambda_1}^2}{m_{\Lambda_1}^2} \frac{\alpha^2 \alpha_s^2(S)}{S^3} \quad \text{当 } S \rightarrow \infty. \quad (32)$$

由于目前实验还不能确定重轻子 τ 的寿命, 故尚不能直接从实验定出 f_{Λ_1} . 理论上由 Weinberg 第一求和规则^[8]

$$f_\pi^2 + \frac{f_{\Lambda_1}^2}{m_{\Lambda_1}^2} = \frac{f_\rho^2}{m_\rho^2} \quad (33)$$

可算出 $f_{\Lambda_1} \approx 0.12\text{GeV}^2$. 而从(32)可直接看出, 一旦测出了截面, 就可从该式定出 f_{Λ_1} . 所以这也是从实验上间接检验 Weinberg 第一求和规则的一个可能途径.

本文是在戴元本导师指导下进行的. 特此致谢.

参 考 文 献

- [1] 黄朝商, 高能物理与核物理, 4(1980), 761.
 [2] S. J. Brodsky and G. P. Lepage, *Phys. Lett.*, 87B(1979), 359; *Phys. Rev. Lett.*, 43(1979), 545.

- [3] G. Farrar and J. D. Jackson, *Phys. Rev. Lett.*, **43**(1979), 246; G. Parisi, *Phys. Lett.*, **84B**(1979), 225; A. Duncan and A. H. Mneller, *Phys. Rev.*, D21(1980), 1636; Preprint, CV-TP-172(1979).
- [4] S. J. Brodsky, Preprint, SLAC-PUB-2447(1979).
- [5] S. Ferrara et al., *Ann. Phys.*, **76**(1973), 161.
- [6] S. J. Brodsky et al., *Phys. Lett.*, **91B**(1980), 239.
- [7] 中国科学院数学研究所理论物理研究室、北京大学理论物理研究室基本粒子理论组, 北京大学学报(自然科学版), **12**(1966), 113.
- [8] S. Weinberg, *Phys. Rev. Lett.*, **19**(1967), 770.

THE LARGE MOMENTUM BEHAVIOR OF THE ELECTROMAGNETIC TRANSITION FORM FACTOR $F_{A_1\pi}(q^2)$ IN QCD

HUANG CHAO-SHANG

(*Institute of Theoretical Physics, Academia Sinica*)

ABSTRACT

In this paper we investigate and obtain the large momentum behavior of the B-S wave function of the 1^{++} meson and the electromagnetic transitional form factor $F_{A_1\pi}(q^2)$ using the operator product expansion and the renormalization group approach. The possible experimental tests are also discussed succinctly.